

ペン型力覚インタフェースを用いた表面ラフネスの提示

谷道 健治 酒井 幸仁 橋本 周司
早稲田大学 理工学部 応用物理学科

1.はじめに

物体表面のラフネスなどを触覚・力覚情報として提示するために、ユーザの皮膚に対して直接的に機械的振動や電気的刺激を与えて擬似的な触覚を提示する方法があるが、皮膚の状態

(温度・湿度)に感覚が依存するため安定したパフォーマンスは期待できない[1]。一方、面をなぞる時の反力の仮想提示にはペン型力覚インタフェースが有効であるという報告がある[2]。

そこで、SensAble Technologies 社のペン型インタフェース PHANToM Omni を用い、紙の表面の三次元的ラフネスをペンを介して間接的に提示するシステムを検討した。本システムでは、デジタル顕微鏡で計測した紙の表面の凹凸情報を仮想ペンの先端部の形状から、仮想的な接触面をあらかじめ計算しておくことで、紙に文字を書いたときの、ペン先形状や紙質による書き心地の相違を直感的に把握できる。

2.システムの概要

システムはデジタル顕微鏡、PC、モニター、PHANToM Omni から構成される(Fig. 1)。キーエンス社のデジタル顕微鏡 VK-9500 にて試料表面の高さデータを取得し、PC に取り込む。取り込まれたデータは OpenGL および PHANToM Omni の SDK により、三角メッシュでポリゴン化され、試料の表面形状が視覚的・力覚的にレンダリングされる。ユーザはモニターを見ながら PHANToM Omni のペンを操作して、ジンバル(Fig. 2)に対応するペン先カーソルで仮想物体に触れることが出来る(Fig. 3)。

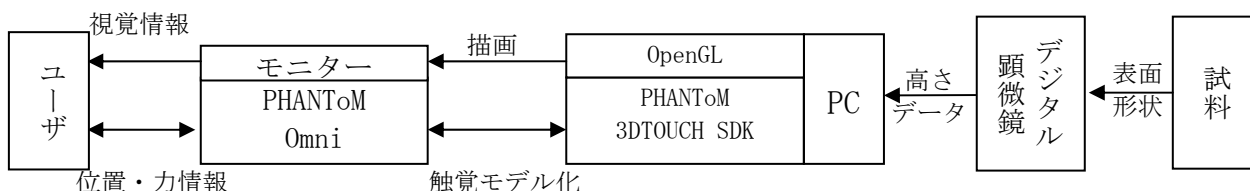


Fig. 1 システム概略図

Rendering of surface-roughness by pen-shaped haptic interface
Kenji Tanimichi, Yukihito Sakai, Shuji Hashimoto

Department of Applied Physics, Waseda University
Contact author: taniken@shalab.phys.waseda.ac.jp



Fig. 2 PAHNToM Omni

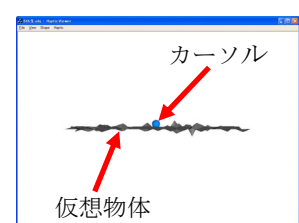


Fig. 3 仮想物体の表示画面

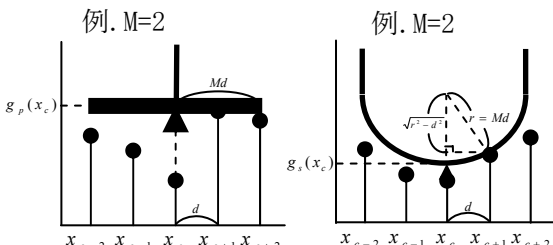


Fig. 4 平面形状

Fig. 5 球状

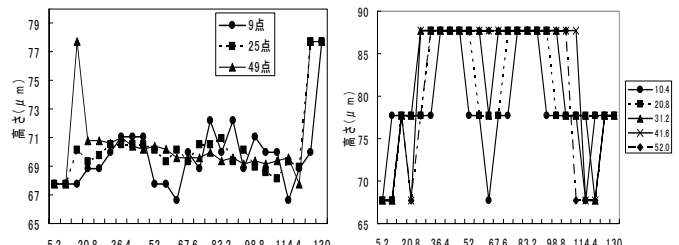


Fig. 6 移動平均

Fig. 7 平面形状

3.3 球状

球の中心は頂点の真上に位置するとし、球を上から下ろした時に最初に当たる頂点を算出してその時の球の中心から半径 r だけ下をペン先の高さ $g_s(i, j)$ とする。

$$g_s(i, j) = \underset{(kd)^2 + (ld)^2 < r^2}{\text{Max}} \{ f(i-l, j-k) + \sqrt{r^2 - (kd)^2 - (ld)^2} \} - r \quad (3)$$

(d:データのサンプリング間隔)

この処理を球の中心を1頂点ずつ動かして、試料の全領域に対して行う。Fig. 5に一次元の場合を示す。

4. 実験

試料として上質紙を採用した。デジタル顕微鏡 VK9500 で紙表面($1.3\text{mm} \times 1.0\text{mm}$)の高さデータをサンプリング間隔 $d=5.2\mu\text{m}$ 、高さ精度 $10\mu\text{m}$ で49152点取得し、PCに取り込んだ。実験ではレンダリングには試料中央($0.13\text{mm} \times 0.09\text{mm}$)の475点のみを用い、また高さに関しては PHANToM Omni の力覚提示分解能を考慮して拡大し、加工データをユーザに提示してなぞり感を調べた。

4.1 移動平均

平均をとる範囲はペン先を含めた 3×3 点、 5×5 点、 7×7 点の3種類を用意し荷重は一定とした。移動平均の領域が増すにつれ、凹凸は減少し、49点で平均した際はほぼ平面となることが視覚的にも力覚的にも確認された(Fig. 6)。

4.2 平面形状

平面は正方形とし、辺長としては $2Md=10.4, 20.8, 31.2, 41.6, 52.0\mu\text{m}$ の5種類を用意した。辺の長さを $10.4\mu\text{m}$ から拡大していくと始めは多くの凹凸を感じていたのが、階段をなぞっている様な感覚に変わった。ただし、 $41.6\mu\text{m}$ と $52.0\mu\text{m}$ では視覚的にも力覚的にも違いを感じ取れなかった。これは仮想物体全体がもはやほとんど平面になってしまった結果であり、視覚的にも確認できる(Fig. 7)。

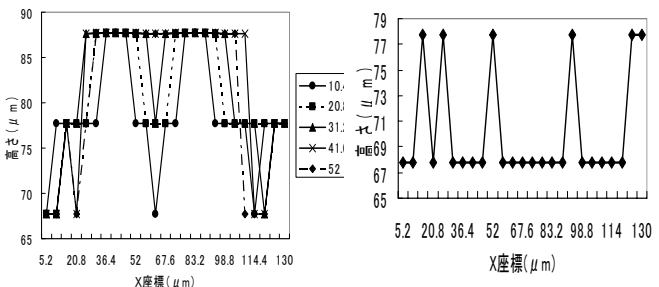


Fig. 8 球状

Fig. 9 生データ

4.3 球状

球の直径として $2Md=10.4, 20.8, 31.2, 41.6, 52.0\mu\text{m}$ の5種類用意した。直径を段階的に大きくすると凹凸が階段状に変化し、 $41.6\mu\text{m}$ 以上は変化しないと知覚された。だが、平面形状と比較した力覚の差は僅かで視覚的にも認識は難しい(Fig. 8)。

5. まとめ

ペン型インターフェース PHANToM Omni を用い、ペン先形状の変化に伴う上質紙の書き心地の変化を提示するシステムについて述べた。本システムを用いることで、実際に紙やペンを製造する前に書き心地を体感することが可能となるばかりでなく、自由度の少ないペン型インターフェースでも表面のラフネスを提示できることが判る。今後は高さ情報以外に摩擦係数や弾性係数の情報を利用した、より忠実な感覚の提示を予定している。

参考文献

- [1] Tanimichi, K., Suzuki, K., Hartono, P., and Hashimoto, S., "Sensing distant objects by tele-haptic interface," Proc. of the IEEE/ASME International Conference on Advanced Intelligent Mechatronics (AIM 2003), Japan (July 2003)
- [2] 下垣徹、水田忍、増田徹、松田哲也：3次元反力取得・表示システムを用いた仮想物体と実物体の力覚情報比較、日本バーチャルリアリティ学会誌 vol. 8, No. 2, pp. 145-154 (2003)